

8. *Музыченко Ю. Н.* Изгиб и устойчивость прямоугольных пластин, ослабленных прямоугольными вырезами.— В кн.: Теория оболочек и пластин. Ереван : Изд-во АН АрмССР, 1964, с. 724—732.
9. *Налоев В. Г.* Устойчивость пластин с вырезами.— В кн.: Теория оболочек и пластин : Тр. IX Всесоюз. конф. по теории оболочек и пластин. Л. : Судостроение, 1975, с. 138—140.
10. *Преображенский И. Н.* Об устойчивости прямоугольных пластинок с отверстиями.— В кн.: Конструирование и расчет зданий и сооружений для научных исследований. М. : Наука, 1973, с. 71—75.
11. *Преображенский И. Н.* О применении импульсных функций для исследования устойчивости пластинок с отверстиями.— Гидроаэромеханика и теория упругости, 1973, вып. 17, с. 136—143.
12. *Преображенский И. Н.* Устойчивость и колебания пластин и оболочек с отверстиями.— М. : Машиностроение, 1981.— 190 с.
13. *Nishihara Seiichiro.* On the shear buckling strength of perforated plates and their reinforcements.— J. Soc. Nav. Archit. Jap., 1978, 143, p. 301—307.
14. *Winoya M., Redwood P.* Elasto-plastic stability in displacement of squares plates with round hole.— Comput. and Struct., 1981, 8, p. 291—300.

Завод-ВТУЗ при Московском автозаводе им. П. А. Лихачева

Получено 19.11.82

УДК 538.56

И. М. Музыка, Р. В. Фильц, Л. И. Глухивский

ОПРЕДЕЛЕНИЕ ПЕРИОДИЧЕСКОГО ВО ВРЕМЕНИ ЭЛЕКТРОМАГНИТНОГО ПОЛЯ В ПРОВОДЯЩЕЙ ФЕРРОМАГНИТНОЙ ПЛАСТИНЕ ДИФФЕРЕНЦИАЛЬНЫМ ГАРМОНИЧЕСКИМ МЕТОДОМ

Изложенный в работе [2] метод расчета одномерного периодического во времени электромагнитного поля в ферромагнитной пластине при разных видах задаваемых граничных условий основан на алгебраизации дифференциального уравнения

$$\frac{\partial^2 H_z}{\partial y^2} = \gamma \frac{\partial B_z}{\partial t} \quad (1)$$

сеточными уравнениями. В ряде задач временные спектры функций $H_z = H_z[y, t]$; $B_z = B_z[y, t]$ с достаточной для практических целей точностью могут быть представлены усеченными рядами Фурье с удержанием небольшого числа членов, и тогда для решения краевой задачи расчета электромагнитного поля более эффективным оказывается комбинированный метод, объединяющий в себе идею сеточного и дифференциального гармонического методов [1].

Пусть необходимо найти решение уравнения (1) для пластины толщиной $2b$, имеющей в направлениях осей x и z бесконечные размеры (рис. 1), при граничных условиях

$$H[y = b, t] = H_r[t] = H_r[t + T];$$

$$\left. \frac{dH}{dy} \right|_{y=0} = 0, \quad (2)$$

где T — временной период процесса. Здесь и далее для краткости индекс z пропущен. Зависимость

$$B = B[H] \quad (3)$$

будем полагать нелинейной монотонной и однозначной.

Представим граничное условие (2) усеченным рядом

$$H[y = b, t] = H_{r0} + \sum_{v=1}^n (H_{rcv} \cos v\omega t + H_{rsv} \sin v\omega t). \quad (4)$$

Здесь H_{r0} , H_{rcv} , H_{rsv} — заданные величины; $\omega = 2\pi/T$.

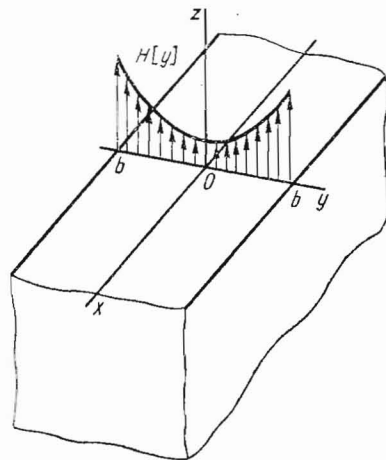


Рис. 1

Ищем решение $H = H[y, t]$ уравнения (1) в виде

$$H = H_0 + \sum_{\nu=1}^n (H_{c\nu} \cos \nu\omega t + H_{s\nu} \sin \nu\omega t), \quad (5)$$

где $H_0, H_{c\nu}, H_{s\nu}$ — искомые функции координаты y , и ограничим временной спектр зависимости $B = B[y, t]$ n гармониками, т. е. представим эту зависимость усеченным рядом

$$B = B_0 + \sum_{\nu=1}^n (B_{c\nu} \cos \nu\omega t + B_{s\nu} \sin \nu\omega t). \quad (6)$$

Определим $B_0, B_{c\nu}, B_{s\nu}$ ($\nu = \overline{1, n}$) как функции от величин $H_0, H_{c\nu}, H_{s\nu}$ ($\nu = \overline{1, n}$) в любом сечении y с помощью рекуррентной системы алгебраических соотношений, состоящей из выражений (5), зависимости (3) и формул

$$B_0 = \frac{1}{2\pi} \int_0^{2\pi} B d\alpha, \quad B_{c\nu} = \frac{1}{\pi} \int_0^{2\pi} B \cos \nu\alpha d\alpha, \quad B_{s\nu} = \frac{1}{\pi} \int_0^{2\pi} B \sin \nu\alpha d\alpha, \quad (7)$$

где $\alpha = \omega t$. Очевидно, что ввиду нелинейности функции (3) каждая из величин $B_0, B_{c\nu}, B_{s\nu}$ ($\nu = \overline{1, n}$) зависит от всей совокупности величин $H_0, H_{c\nu}, H_{s\nu}$ ($\nu = \overline{1, n}$), т. е.

$$\begin{aligned} B_0 &= B_0[H_0, H_{c1}, H_{s1}, \dots, H_{cn}, H_{sn}], \\ B_{c\nu} &= B_{c\nu}[H_0, H_{c1}, H_{s1}, \dots, H_{c\nu}, H_{s\nu}], \\ B_{s\nu} &= B_{s\nu}[H_0, H_{c1}, H_{s1}, \dots, H_{c\nu}, H_{s\nu}]. \end{aligned} \quad (8)$$

Подставив выражения (5), (6) в уравнение (1) и потребовав, чтобы полученное уравнение удовлетворялось для любого момента времени, придем к системе обыкновенных дифференциальных уравнений

$$\frac{d^2 H_0}{dy^2} = 0, \quad \frac{d^2 H_{c\nu}}{dy^2} = \gamma \nu \omega B_{s\nu}, \quad \frac{d^2 H_{s\nu}}{dy^2} = -\gamma \nu \omega B_{c\nu}. \quad (9)$$

Таким образом, задача сведена к определению амплитуд $B_0, B_{c\nu}, B_{s\nu}$ ($\nu = \overline{1, n}$) как функций координаты y , удовлетворяющих системе дифференциальных уравнений (9) и нелинейным зависимостям (8) при граничных условиях

$$\begin{aligned} H_0[y=b] &= H_{r0}, \quad H_{c\nu}[y=b] = H_{rc\nu}, \quad H_{s\nu}[y=b] = H_{rs\nu}, \\ \frac{dH_0}{dy} \Big|_{y=b} &= 0, \quad \frac{dH_{c\nu}}{dy} \Big|_{y=b} = 0, \quad \frac{dH_{s\nu}}{dy} \Big|_{y=b} = 0 \quad (\nu = \overline{1, n}). \end{aligned} \quad (10)$$

Образовав $(1 + 2n)$ -мерные векторы-столбцы

$$\vec{H}_z = (H_0, H_{c1}, H_{s1}, \dots, H_{cn}, H_{sn}), \quad (11a)$$

$$\vec{B}_z = (B_0, B_{c1}, B_{s1}, \dots, B_{cn}, B_{sn}), \quad (11b)$$

запишем систему (8) — (10) в виде

$$\frac{d^2 \vec{H}_z}{dy^2} = \gamma \omega D \vec{B}_z, \quad (12)$$

$$\vec{B}_z = \vec{B}_z[\vec{H}_z], \quad (13)$$

$$\vec{H}_z[y=b] = \vec{H}_{er}, \quad \frac{d\vec{H}_z}{dy} \Big|_{y=0} = 0. \quad (14)$$

Наложим на интервал $0 \leq y \leq b$ равномерную сетку, образованную L узлами (включая граничные), и аппроксимируем дифференциальную краевую задачу (12) — (14) конечно-разностной краевой задачей, воспользовавшись разностными формулами четвертого порядка. В результате придем к

системе конечно-разностных уравнений

$$\begin{aligned}
 & -25\vec{H}_{e1} + 48\vec{H}_{e2} - 36\vec{H}_{e3} + 16\vec{H}_{e4} - 3\vec{H}_{e5} = 0, \\
 & 11\vec{H}_{e1} - 20\vec{H}_{e2} + 6\vec{H}_{e3} + 4\vec{H}_{e4} - \vec{H}_{e5} = c\gamma\omega D\vec{B}_{e2}, \\
 & -\vec{H}_{e1} + 16\vec{H}_{e2} - 30\vec{H}_{e3} + 16\vec{H}_{e4} - \vec{H}_{e5} = c\gamma\omega D\vec{B}_{e3}, \\
 & -\vec{H}_{e2} - 16\vec{H}_{e3} - 30\vec{H}_{e4} + 16\vec{H}_{e5} - \vec{H}_{e6} = c\gamma\omega D\vec{B}_{e4}, \\
 & \vdots \\
 & -\vec{H}_{e,L-4} + 16\vec{H}_{e,L-3} - 30\vec{H}_{e,L-2} + 16\vec{H}_{e,L-1} - \vec{H}_{eL} = c\gamma\omega D\vec{B}_{e,L-2}, \\
 & -\vec{H}_{e,L-4} + 4\vec{H}_{e,L-3} + 6\vec{H}_{e,L-2} - 20\vec{H}_{e,L-1} + 11\vec{H}_{eL} = c\gamma\omega D\vec{B}_{e,L-1}, \\
 & \vec{H}_{eL} - \vec{H}_{er} = 0, \\
 & \vec{H}_{el} = \vec{H}_e[\vec{B}_{el}] \quad (l = \overline{1, L}),
 \end{aligned} \tag{15}$$

где $\vec{H}_{el}, \vec{B}_{el}$ ($l = \overline{1, L}$) — векторы вида (11), составленные для l -го узла сетки по координате y ; $c = 12(\Delta y)^2$.

Образует $(1 + 2n)$ L -мерные векторы-столбцы

$$\vec{H} = (\vec{H}_{e1}, \dots, \vec{H}_{eL})_*; \quad \vec{B} = (\vec{B}_{e1}, \dots, \vec{B}_{eL})_*; \quad \vec{H}_r = (0, \dots, 0, \vec{H}_{eL})_* \tag{17}$$

и $(1 + 2n)$ L -мерные квадратные матрицы

$$C_1 = \begin{array}{|cccccc}
 \hline
 -25E & 48E & -36E & 16E & -3E & \\
 11E & -20E & 6E & 4E & -E & \\
 -E & 16E & -30E & 16E & -E & \\
 & -E & 16E & -30E & 16E & -E \\
 & & & & & \ddots \\
 & & & & -E & 16E & -30E & 16E & -E \\
 & & & & -E & 4E & 6E & -20E & 11E \\
 & & & & & & & & E \\
 \hline
 \end{array}$$

$$C_2 = c\gamma\omega \text{diag}(0, D, \dots, D, 0), \tag{18}$$

где E — $(1 + 2n)$ -мерная единичная матрица.

Система (15), (16) с учетом обозначений (17), (18) примет вид

$$C_1\vec{H} - C_2\vec{B} - \vec{H}_r = 0, \tag{19a}$$

$$\vec{B} = \vec{B}[\vec{H}]. \tag{19b}$$

Решим ее итерационным методом Ньютона. Значение вектора \vec{H} на $(i + 1)$ -й итерации может быть вычислено из линейного уравнения

$$\left(C_1 - C_2 \frac{d\vec{B}}{d\vec{H}} \bigg|_{\vec{H}=\vec{H}_i} \right) (\vec{H}_i - \vec{H}_{i+1}) = C_1\vec{H}_i - C_2\vec{B}_i - \vec{H}_r, \tag{20}$$

где в соответствии с формулами (16), (17)

$$\frac{d\vec{B}}{d\vec{H}} \bigg|_{\vec{H}=\vec{H}_i} = \text{diag} \left(\frac{d\vec{B}_e}{d\vec{H}_e} \bigg|_{\vec{H}_e=\vec{H}_{e1}}, \dots, \frac{d\vec{B}_e}{d\vec{H}_e} \bigg|_{\vec{H}_e=\vec{H}_{eL}} \right) = \hat{\mu}. \tag{21}$$

Здесь производные вида

$$\left. \frac{d\vec{B}_z}{d\vec{H}_z} \right|_{\vec{H}_z = \vec{H}_{zli}} = \mu_{zli} \quad (22)$$

отражают дифференциальные гармонические магнитные проницаемости ферромагнитного материала в l -м узле сетки, изображаемые $(1 + 2n)$ -мерными квадратными матрицами, вычисляемыми при условии, что напряженность магнитного поля изменяется во времени по закону (5), при значениях $H_0 = H_{0li}$, $H_{cv} = H_{cvli}$, $H_{sv} = H_{svli}$, соответствующих i -й итерации.

Выведем формулы для определения матриц вида (22). Для этой цели представим ряд (5) в виде

$$H = \vec{K}[\alpha] \vec{H}_z, \quad (23)$$

где $\vec{K}[\alpha] = (1, \cos \alpha, \sin \alpha, \dots, \cos n\alpha, \sin n\alpha)$. Вектор \vec{B} представим с учетом формул (7), (11б) выражением

$$B_z = \frac{1}{\pi} \int_0^{2\pi} \vec{K}'[\alpha] B d\alpha. \quad (24)$$

Здесь $\vec{K}'[\alpha] = \left(\frac{1}{2}, \cos \alpha, \sin \alpha, \dots, \cos n\alpha, \sin n\alpha \right)_*$. Продифференцировав

выражение (24) по вектору \vec{H}_z , с учетом соотношений (3), (23) получим

$$\mu_z = \frac{d\vec{B}_z}{d\vec{H}_z} = \frac{1}{\pi} \int_0^{2\pi} \vec{K}'[\alpha] \mu \vec{K}[\alpha] d\alpha, \quad (25)$$

где

$$\mu = \frac{dB}{dH} = \mu[H] \quad (26)$$

— дифференциальная магнитная проницаемость материала пластины. Напряженность магнитного поля является периодической функцией координаты $\alpha = \omega t$, поэтому проницаемость μ также является периодической функцией координаты α . Представим ее рядом Фурье

$$\mu[\alpha] = \mu_0 + \sum_{\rho=1}^{\infty} (\mu_{c\rho} \cos \rho\alpha + \mu_{s\rho} \sin \rho\alpha). \quad (27)$$

Подставив выражение (27) в (25) и выполнив интегрирование, найдем

$$\mu_z = \frac{1}{2} \times$$

$2\mu_0$	μ_{c1}	μ_{s1}	...	μ_{cn}	μ_{sn}
$2\mu_{c1}$	$2\mu_0 + \mu_{c2}$	μ_{s2}		$\mu_{c,n-1} + \mu_{c,n+1}$	$\mu_{s,n-1} + \mu_{s,n+1}$
$2\mu_{s1}$	μ_{s2}	$2\mu_0 - \mu_{c2}$		$-\mu_{s,n-1} + \mu_{s,n+1}$	$\mu_{c,n-1} - \mu_{c,n+1}$
\vdots					
$2\mu_{cn}$	$\mu_{c,n-1} + \mu_{c,n+1}$	$-\mu_{s,n-1} + \mu_{s,n+1}$		$2\mu_0 + \mu_{c,2n}$	$2\mu_{s2n}$
$2\mu_{sn}$	$\mu_{s,n-1} + \mu_{s,n+1}$	$\mu_{c,n-1} - \mu_{c,n+1}$		$2\mu_{s2n}$	$2\mu_0 - \mu_{c,2n}$

(28)

Таким образом, матрица μ_z определяется только через первые $(1 + 2n)$ коэффициентов разложения $\mu[\alpha]$ в ряд Фурье.

Алгоритм определения вектора \vec{H} на $(i + 1)$ -й итерации сводится к выполнению следующих операций: а) по найденному на i -й итерации вектору

\vec{H} вычисляются функции $H = H[\alpha]$ на временной сетке K равноудаленных узлов периода T ($K \geq 4n + 1$) для всех $y = y_l$ ($l = 1, L$); б) по известной функции $\mu = \mu[H]$ и найденным значениям $H = H[\alpha]$ в узлах временной сетки определяются значения $\mu[\alpha]$ в этих же узлах для всех сечений $y = y_l$; в) по формулам численного гармонического анализа вычисляются первые $l + 4n$ коэффициентов рядов вида (27) для всех $y = y_l$; г) формируются матрицы μ_z для всех $y = y_l$; д) формируются матрицы коэффициентов и вектор правых частей уравнения (20); е) уравнение (20) решается относительно вектора \vec{H}_{i+1} .

Если при принятом нулевом приближении для вектора \vec{H} итерационный процесс не обнаруживает тенденции к сходимости после 5—6 итераций, то для определения удовлетворительного (под углом зрения сходимости) нулевого приближения следует воспользоваться методом продолжения решения по параметру. Параметризованное уравнение (19а) целесообразно составить в виде

$$C_1 \vec{H} - C_2 \vec{B} - h \vec{H}_r = 0. \quad (29)$$

Продифференцировав его по h , придем к нелинейному векторному дифференциальному уравнению

$$(C_1 - C_2 \hat{\mu}) \frac{d\vec{H}}{dh} = \vec{H}_r. \quad (30)$$

Из уравнения (29) очевидно, что при $h = 0$ справедливы равенства $\vec{H} = 0$, $\vec{B} = 0$. Поэтому, интегрируя уравнение (30) численным способом при нулевых начальных условиях в пределах от $h = 0$ до $h = 1$, при $h = 1$ получаем вектор \vec{H} , который может быть принят в качестве нулевого приближения для рассмотренной выше итерационной процедуры.

В соответствии с изложенным алгоритмом была составлена программа расчета периодического во времени электромагнитного поля в ферромагнитной пластине. Результаты расчета на ЭВМ ЕС-1060 для пластины толщиной 1,0 мм при $H_r = 800 \cos 314t$ приведены на рис. 2 (материал пластины — электротехническая сталь Э330, $\gamma = 0,75 \cdot 10^7$ 1/Ом · м).

1. Глухивский Л. И. Алгоритм расчета на ЦВМ бегущей электромагнитной волны в проводящем ферромагнитном слое. — Мат. методы и физ.-мех. поля, 1980, вып. 12, с. 113—118.
2. Фильц Р. В., Музыка И. М. Определение эквивалентных характеристик намагничивания слонстой ферромагнитной среды при одномерном периодическом перемагничивании. — Там же, 1983, вып. 18, с. 95—99.

Институт прикладных проблем механики
и математики АН УССР, Львов

Получено 22.02.82

УДК 530.12 : 531.51

Р. М. Пляцко, А. Л. Вынар

ДВИЖЕНИЕ ВРАЩАЮЩЕГОСЯ ПРОБНОГО ТЕЛА В ГРАВИТАЦИОННОМ ПОЛЕ ВРАЩАЮЩЕГОСЯ ИСТОЧНИКА

Согласно работам [2, 3], уравнения Папапетру, описывающие движение вращающегося пробного тела в гравитационном поле, имеют в поле Шварцшильда решения, из которых следует, что тело с ультрарелятивистской скоростью может двигаться по круговым орбитам, плоскость которых не пере-

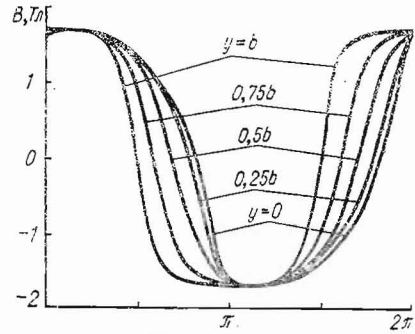


Рис. 2